

УДК 532.517

МОДЕЛИРОВАНИЕ ОСНОВНЫХ ХАРАКТЕРИСТИК БЛИЖНЕГО СЛЕДА ОТ ПАРЫ ЦИЛИНДРОВ, РАСПОЛОЖЕННЫХ БОК О БОК, НЕ СЛИШКОМ БЛИЗКО

© 2023 г. Г. В. Гембаржевский^{a,*}, К. Ю. Оsipенко^{a,**}

^aИнститут проблем механики им. А.Ю. Ишлинского РАН, Москва, Россия

*E-mail: gygemb@ipmnet.ru

**E-mail: osipenko@ipmnet.ru

Поступила в редакцию 21.04.2023 г.

После доработки 20.06.2023 г.

Принята к публикации 25.06.2023 г.

На основе модели Ландау–Стюарта и теории возмущений построена одномерная модель близкого следа в вязкой несжимаемой жидкости от пары не слишком тесно расположенных цилиндров. Этот комплексный след рассматривается как две взаимодействующие парциальные дорожки Кармана – два связанных осциллятора Ландау–Стюарта, при этом нелинейный характер взаимодействия дорожек учитывается. Получены: наблюдаемый спектр глобальных мод такого следа и согласие между расчетными и экспериментальными собственными частотами осцилляций по модам.

Ключевые слова: модель Ландау–Стюарта, взаимодействие дорожек Кармана, перемежаемость глобальных мод, собственные частоты

DOI: 10.31857/S1024708423600240, EDN: UZJAOY

Для физического понимания явлений и эффективного управления объектами служат прозрачные – физические модели. Так, известно, что свойства близких следовых течений в значительной степени определяются параметрами их крупномасштабной когерентной структуры – дорожки Кармана (K), наличествующей в следе [1]. Соответственно, с целью управления свойствами следовых течений, как-то: силами, приложенными к телам, коэффициентами переноса в течениях, успешно применяют различные методы модификации дорожек K в следе. В частности, используют вдув/отсос газа с поверхности тел или проникаемые вставки, локализованный электрический разряд, а при моделировании следа – дорожки K применяют простейшую – одномерную модель Ландау–Стюарта ($L–C$) [2–4]. Уместно отметить, что задача обтекания группы близко расположенных цилиндров представляет не меньший практический интерес, чем случай одиночного цилиндра. Как пример типичных актуальных задач, отметим: расчет ветровой нагрузки массива высотных зданий/сооружений, или тепло/массо-обмена в химических/ядерных реакторах-теплообменниках, задачу стабилизации горения топлив. В настоящее время обтекание группы цилиндров принято рассчитывать с помощью численных методов как краевую задачу для уравнений Навье–Стокса или их модификаций. Однако трудоемкость такого расчета резко возрастает с ростом числа Рейнольдса течения. Простая физическая модель обтекания группы цилиндров была бы здесь полезна, по крайней мере, на первоначальном этапе решения оптимизационных задач. Соответственно, предпринимались попытки обобщить модель $L–C$ хотя бы на случай следа от пары цилиндров, но адекватно воспроизвести наблюдаемые режимы течения не удалось в рамках обобщений с линейным представлением взаимодействия дорожек K от цилиндров [5]. В статье ставится задача построения модели близкого следа от двух цилиндров, пригодной для предсказания крупномасштабной структуры следа и, в перспективе, для управления перестройкой или, напротив, стабилизации определенной (оптимальной) структуры такого следа.

1. МОДЕЛЬ СЛЕДА С НЕЛИНЕЙНЫМ ПРЕДСТАВЛЕНИЕМ ВЗАИМОДЕЙСТВИЯ ПАРЦИАЛЬНЫХ ДОРОЖЕК КАРМАНА

Для построения модели следа от пары цилиндров, расположенных в плоскости перпендикулярной набегающему потоку вязкого несжимаемого флюида, исходим из модели Ландау–Стюарта (Л–С) следа от одиночного цилиндра. Она обоснована на решении краевой задачи для уравнений Навье–Стокса [2, 3] в случае ламинарного двумерного течения при числе Рейнольдса $R < 180$. Здесь число Рейнольдса определено по диаметру цилиндров D и невозмущенной скорости течения U_∞ . При построении модели учитывается, что осцилляции в различных точках одной дорожки К приблизительно когерентны, но различаются по амплитуде и фазе колебаний, так, что вся дорожка за порождающим ее цилиндром моделируется уравнением одного осциллятора Л–С [4, Fig. 4]. (Упомянутая когерентность в ламинарном следе соблюдается точно только после выхода на стационар $t \rightarrow \infty$.) В рамках теории возмущений, комплексный след от пары цилиндров рассматривается как две парциальные дорожки К, существенно взаимодействующие между собой в области их формирования, вблизи порождающих цилиндров. Соответственно, записываются два связанных (возмущенных, модифицированных) уравнения осцилляторов Л–С для двух комплексных, учитывающих фазу осцилляций, управляющих параметров (a и b) двух осцилляторов-дорожек К. В рассматриваемой модели цилиндры должны располагаться не слишком тесно, иначе их комплексный след вырождается в одну дорожку К от одного плохо проницаемого тела – пары цилиндров. В последнем случае пара взаимодействующих дорожек К будет неудачным первым приближением для такого комплексного следа.

$$\frac{da}{dt} - a \left\{ i\omega_0 + \varepsilon_{LS} \left[\lambda + \Lambda \operatorname{Re} \lambda - (\mu - il \operatorname{Im} \mu) \left(\frac{\operatorname{Re} \lambda}{\operatorname{Re} \mu} \right) |a|^2 - (\operatorname{Re} \lambda) \Lambda |b|^4 - l(\operatorname{Re} \lambda) a \bar{b} \right] \right\} = St_a \quad (1.1)$$

$$\frac{db}{dt} - b \left\{ i\omega_0 + \varepsilon_{LS} \left[\lambda + \Lambda \operatorname{Re} \lambda - (\mu - il \operatorname{Im} \mu) \left(\frac{\operatorname{Re} \lambda}{\operatorname{Re} \mu} \right) |b|^2 - (\operatorname{Re} \lambda) \Lambda |a|^4 - l(\operatorname{Re} \lambda) b \bar{a} \right] \right\} = St_b \quad (1.2)$$

Уравнения (1.1), (1.2) приведены в форме принятой в [3]. Здесь зависимыми переменными являются: a – управляющий параметр первой дорожки К, b – управляющий параметр второй дорожки. В эксперименте эти управляющие параметры отождествляются, с точностью до мультиплексивной константы, с поперечной составляющей скорости течения в характерной точке соответствующей дорожки (точке на ее оси, т.е. там, где среднее значение поперечной скорости нулевое). Удаление этой точки вниз по потоку от порождающего цилиндра целесообразно выбрать равным $x/D \approx 5$, поскольку в этом случае коэффициенты уравнений Л–С наиболее консервативны [4, Fig. 3]. Чертеж над символом управляющего параметра в уравнениях обозначает комплексное сопряжение. Независимое переменное t в уравнениях – это время, обезразмеренное по невозмущенной скорости течения и диаметру цилиндров $t = t_{phys} U_\infty / D$. Уравнения (1.1), (1.2) содержат параметры, наследуемые от модели Л–С для следа одиночного цилиндра. Во-первых, это безразмерная частота установившихся колебаний на пороге (при критическом числе Рейнольдса $R_{cr} = 46$, [3]) бифуркации Ландау–Хопфа к осциллирующему течению $\omega_0 = 2\pi Sh_l = 0.74$, где $Sh_l = f_{L-H} D / U_\infty$ – соответствующее число Струхала. Во-вторых, малый параметр $\varepsilon_{LS} = (1/R_{cr}) - (1/R)$, определяющий малую скорость эволюции следа в масштабе периода базовых осцилляций. В-третьих, два комплексных параметра λ и μ модели Л–С, фактически определяющих, совместно с ε_{LS} , динамику классического осциллятора Л–С – уединенной дорожки К. В работе [3] приведены выражения λ и μ через квадратуры от установившегося решения соответствующей краевой задачи. Для учета взаимодействия дорожек К в области их формирования в стандартные уравнения модели Л–С [3] введены дополнительные – возмущающие члены, пропорциональные действительным параметрам l и Λ . Параметр l характеризует интенсивность взаимодействия дорожек К, зависящую от относительной фазы осцилляций в дорожках К, а параметр Λ – интенсивность фазонезависимого взаимодействия дорожек. Естественно ожидать, что оба этих параметра являются монотонно убывающими функциями расстояния между осями цилиндров. Форма возмущающих членов уравнений, т.е. их зависимость от определяющих параметров дорожек К – a и b , выбрана нелинейной, поскольку известно, что простейшая – линейная форма дополнительных членов в уравнениях модели Л–С не приводит к полностью удовлетворительным результатам моделирования следа [5]. В пользу нелинейности возмущающих членов свидетельствует и квадратичная нелинейность основополагающих уравнений Навье–Стокса. Для случая турбулентного следа уравнения модели содержат в правой части стохастизи-

рующие члены St – аналог сил Ланжевена. Это – некоторые случайные функции времени, моделирующие воздействие высокочастотных мод течения на основную – низкочастотную моду осцилляций дорожки К, а также и влияние турбулентности набегающего потока. В соответствии с [3], без ограничения общности, можно считать, что $\text{Re } \lambda = \text{Re } \mu$, так чтобы управляющие параметры дорожек К удовлетворяли естественной нормировке $|a| = |b| = 1$ для случая установившегося следа от уединенных цилиндров $\Lambda = l = 0$.

Для анализа системы комплексных уравнений модели (1.1), (1.2) удобно привести к системе четырех уравнений для действительных амплитуд r , ρ и фаз ϕ , ψ осцилляций в двух дорожках К согласно преобразованию переменных (1.3)

$$\begin{aligned} a &= r \exp i(\omega_0 t + \phi) \\ b &= \rho \exp i(\omega_0 t + \psi) \end{aligned} \quad (1.3)$$

Введем также “медленное” время $\tau = 2\epsilon_{LS} t \text{Re } \lambda$, интенсивности $x = r^2$, $y = \rho^2$ и разность фаз $P = \phi - \psi$ осцилляций в двух осцилляторах-дорожках К (по образцу [6]). В результате проведенных преобразований имеем систему четырех уравнений модели

$$\frac{dx}{d\tau} - x \left[1 + \Lambda - x - \Lambda y^2 - l\sqrt{xy} \cos P \right] = St_x \quad (1.4)$$

$$\frac{dy}{d\tau} - y \left[1 + \Lambda - y - \Lambda x^2 - l\sqrt{xy} \cos P \right] = St_y \quad (1.5)$$

$$\frac{d\Phi}{d\tau} - k [(1-l)x - 1] + \frac{l}{2}\sqrt{xy} \sin P = St_\phi \quad (1.6)$$

$$\frac{d\Psi}{d\tau} - k [(1-l)y - 1] - \frac{l}{2}\sqrt{xy} \sin P = St_\psi \quad (1.7)$$

Здесь введен коэффициент $k = -\text{Im } \mu / 2 \text{Re } \mu$. В модели (1.4)–(1.7) можно усмотреть отделяющуюся систему из трех уравнений (1.4), (1.5) и (1.8) для интенсивностей x , y и относительной фазы P колебаний в двух дорожках К, составляющих комплексный след.

$$\frac{dP}{d\tau} - k(1-l)(x-y) + l\sqrt{xy} \sin P = St_\phi - St_\psi \quad (1.8)$$

Разрешив эту систему трех “ведущих” уравнений, можно восстановить полное решение согласно уравнениям (1.6) и (1.7). Как модель (1.4)–(1.7), так и ведущая система уравнений (1.4), (1.5), (1.8) содержит всего три действительных параметра: k , Λ и l , причем первый из них – наследуемый от модели Л–С. Для его оценки можно использовать результаты расчета для случая следа от одиночного цилиндра вблизи порога бифуркации $R \approx R_{cr}$, согласно которому $k = 1.64$ по [3], или $k = -c/2 \approx 1.35$, где $c \approx -2.7$ – “постоянная Ландау” для характерной точки дорожки К $x/D \approx 5$ по [4].

2. МОДЫ И РЕЖИМЫ СЛЕДА ОТ ПАРЫ ЦИЛИНДРОВ; СРАВНЕНИЕ С ЭКСПЕРИМЕНТОМ

Простую модель комплексного следа (1.4)–(1.8) удалось проанализировать почти полностью аналитически, определив набор мод и собственных частот осцилляций. Глобальные моды находим как линейно-устойчивые точки покоя или квазипериодические решения уравнений модели (1.4)–(1.8) при нулевых правых частях $St = 0$. Имеем следующий спектр мод – рис. 1. При произвольной интенсивности взаимодействия $\Lambda > 0$ и при $l > 0$, но вне клина $\Lambda > 0.5$, $|l| < 2\Lambda^2 + 2\Lambda - 1.5$ существует первая симметричная мода, в форме одинаковых синхронизованных парциальных дорожек К. Конфигурация моды I следующая: $x = y = [\sqrt{(1+l)^2 + 4\Lambda(1+\Lambda)} - (1+l)]/2\Lambda$, $P = 0$. Напротив, при $\Lambda > 0$, но $l < 0$ и вне отмеченного клина существует вторая симметричная мода, в виде одинаковых противофазно-синхронизованных дорожек с конфигурацией: $x = y = [\sqrt{(1-l)^2 + 4\Lambda(1+\Lambda)} - (1-l)]/2\Lambda$, $P = \pi$. При относительно интенсивном взаимодействии парциальных дорожек К, т.е. на интервале изменения параметра $0.5 < \Lambda < 0.5(\sqrt{5} - 1)$, становится линейно-устойчивой третья асимметричная мода в форме двух

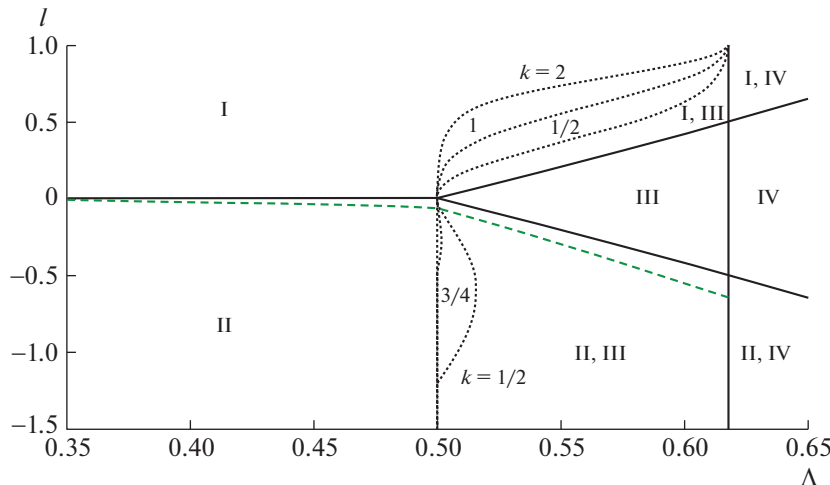


Рис. 1. Области существования глобальных мод I–IV следа. На каждом сегменте плоскости Λ, l римскими цифрами нанесены номера реализующихся в пределах этого сегмента мод. Положение границ сегментов (сплошные линии) не зависит от параметра модели k , за исключением левой границы области существования моды III – $\underline{\Delta}(l, k)$, нанесенной пунктиром. Возможная траектория изменения параметров взаимодействия дорожек Кармана (согласно уравнениям (2.2), $\alpha = 1$) – зеленая штриховая линия.

различающихся по всем характеристикам дорожек К. Примерная конфигурация моды III следующая: $x \approx [1 + \sqrt{4\Lambda(1 + \Lambda) - 3}] / 2\Lambda$, $y \approx [1 - \sqrt{4\Lambda(1 + \Lambda) - 3}] / 2\Lambda$. Эта мода глобально устойчива в треугольнике параметров: $0.5 < \Lambda < 0.5(\sqrt{5} - 1)$, $|l| < 2\Lambda^2 + 2\Lambda - 1.5$. Вне этого треугольника, когда параметр $\Lambda > \underline{\Delta}(l, k)$, она перемежается при $l > 0$ с модой I или при $l < 0$ с модой II. Здесь для левой границы области существования моды III, найденной численным расчетом системы уравнений (1.4)–(1.7), введено обозначение $\underline{\Delta}(l, k)$ (рис. 1, пунктир). При дальнейшем повышении интенсивности взаимодействия дорожек, т.е. при $\Lambda > 0.5(\sqrt{5} - 1)$, модель теряет корректность, ввиду предсказания для этой области не наблюдавшейся моды IV в форме невозмущенной дорожки К от одного из цилиндров при полном подавлении дорожки от второго цилиндра. Кроме того, при весьма малых значениях параметра k дополнительно обнаруживается мода V в виде различающихся по интенсивности, но синхронизованных дорожек К (при $l < 0$ и $0.5 < \Lambda < 0.5(\sqrt{5} - 1)$ для этого требуется выполнение неравенства $k < 1/4\sqrt{2}$).

Из приведенных данных видно, что спектр расчетных глобальных мод I–III точно соответствует экспериментально наблюдаемому набору трех огрубленных мод следа [7–9]. При этом, в случае достаточно широко разнесенных цилиндров $L/D > 2 - 2.5$, в эксперименте наблюдается перемежающееся течение по модам I и II, причем № II – преимущественно реализуемая мода, согласно [8]. Соответственно этому слую, в модели при сравнительно слабом взаимодействии дорожек К – при $0 < \Lambda < 0.5$ воспроизводится одномодовое течение по моде II (при надлежащем выборе зависимости $l = l(\Lambda)$, о чем будет сказано ниже). Далее, при сближении цилиндров до расстояния $L/D = 2 - 2.5$ (в зависимости от числа Рейнольдса течения) в эксперименте визуализируется бифуркация от течения по моде II к перемежающемуся по модам II и III следу [7, 8]. Эта бифуркация полностью воспроизводится в рамках модели при критическом значении параметра $\Lambda \approx 0.5$: смотри движение изображающей точки слева-направо вдоль зеленой штриховой линии на рис. 1.

Что можно сказать о расчете собственных частот осцилляций по модам следа? Соответствующие данные приведены на рис. 2, где частоты осцилляций рассчитывались по формулам (2.1), для средних установившихся значений интенсивностей осцилляций в дорожках – $\langle x \rangle$ и $\langle y \rangle$.

$$\begin{aligned}\omega_x &= 1 + \left(\frac{k \varepsilon_{LS} \operatorname{Re} \lambda}{\pi S h_i} \right) [(1 - l) \langle x \rangle - 1] \\ \omega_y &= 1 + \left(\frac{k \varepsilon_{LS} \operatorname{Re} \lambda}{\pi S h_i} \right) [(1 - l) \langle y \rangle - 1]\end{aligned}\quad (2.1)$$

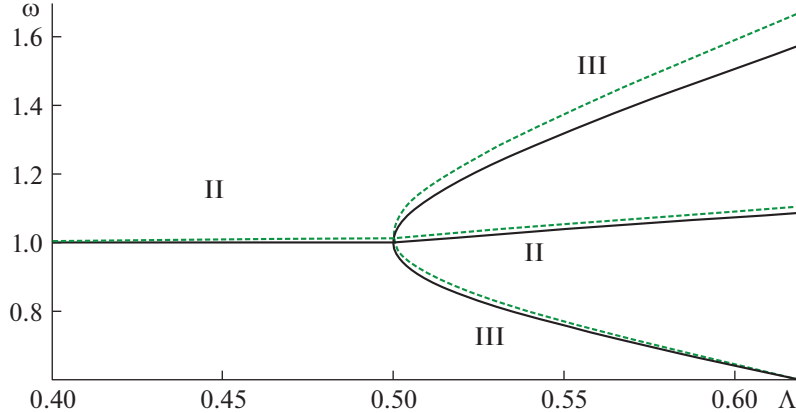


Рис. 2. Спектр собственных частот осцилляций в следе от двух цилиндров, случай $(k\epsilon_{LS} \operatorname{Re} \lambda) / (2\pi Sh) = 0.2$. Номера мод приведены возле соответствующих ветвей спектра римскими цифрами. Сплошные черные кривые соответствуют траекториям изображающей точки, проходящей по верхней границе существования моды II – согласно уравнению (2.2) при значении $\alpha = 0$, зеленые штриховые линии – для траектории (2.2): $\alpha = 1$.

В частности, для уединенных дорожек $\Lambda = l = 0$ имеем $\langle x \rangle = \langle y \rangle = 1$, и соответствующие безразмерные частоты осцилляций $\omega_x = \omega_y = 1$ при любом закритическом числе Рейнольдса течения $R > R_{cr}$. Дорожки К в комплексном следе интенсивно взаимодействуют лишь в области их формирования вблизи цилиндров, соответственно, считаем основной параметр, характеризующий взаимодействие дорожек в модели, – $\Lambda(L/D, R)$ монотонно убывающей функцией расстояния между осями цилиндров L/D . (Дополнительно учитываем, что эффективный зазор между цилиндрами, с учетом пограничных слоев на цилиндрах, определяется не исключительно геометрией, но и числом Рейнольдса). Для согласования расчетных частот с экспериментальными данными, выбираем значение второго параметра взаимодействия – l чуть ниже верхней границы области существования моды II, например:

$$\begin{aligned} l &= -\alpha \Lambda^4, \quad 0 \leq \Lambda \leq 0.5 \\ l &= -2\Lambda(1 + \Lambda) + 1.5 - \alpha \Lambda^4, \quad 0.5 \leq \Lambda < 0.5(\sqrt{5} - 1); \quad 0 \leq \alpha \leq 1 \end{aligned} \quad (2.2)$$

С учетом установленного соответствия $l = l(\Lambda)$ и $\Lambda = \Lambda(L/D, R)$ констатируем хорошее согласие расчетных данных о распределении частот осцилляций по глобальным модам следа – рис. 2 с известными экспериментальными данными $Sh = Sh(L/D, R)$ [7, Fig. 31, 32; 8, Fig. 14a]. Замечание: если на интервале $0 \leq \Lambda \leq 0.5$ сместить траекторию изображающей точки чуть выше уровня $l = 0$, то в рамках модели, при слабом взаимодействии дорожек К вместо моды II будет существовать мода I, но частота осцилляций по моде I останется примерно единичной (как и была для моды II), что соответствует экспериментальным измерениям для разнесенных цилиндров $L/D > 2 - 2.5$ (когда частоты осцилляций по перемежающимся модам I и II не удается различить).

ЗАКЛЮЧЕНИЕ

Вариант модели ближнего следа от пары цилиндров, установленных бок о бок, предлагается как обобщение, с использованием теории возмущений, известной, обоснованной модели Ландау–Стюарта для следа уединенного цилиндра. Этот вариант, в целом, адекватно воспроизводит спектр огрубленных экспериментальных мод комплексного следа I–III и, в частности, бифуркацию к режиму перемежаемости мод II → II/III в турбулентном следе, а также собственные частоты осцилляций мод следа для не слишком близко расположенных цилиндров, примерно $L/D \geq 1.5$. Известно [7–9], что при меньших расстояниях, в результате усиления взаимодействия между областями формирования дорожек К, след принимает форму одной широкой дорожки К. Такая форма комплексного следа плохо воспроизводится в рамках модели, хотя и допускает неформальную интерпретацию в виде следа в состоянии моды III с наличествующей низкочастот-

ной дорожкой К, но при полностью релаксированной вниз по потоку высокочастотной дорожке. Существенное различие в скорости диссипации двух дорожек, составляющих моду III, действительно наблюдается в эксперименте [7, 8].

Лежащая в основе предлагаемой модели, модель Л–С следа от одиночного цилиндра находит применение в широком диапазоне чисел Рейнольдса $R < 10^5$ (например, при расчете ветровой нагрузки линий передачи электроэнергии, трубопроводов). Можно ожидать, что обобщенная модель комплексного следа работоспособна примерно в том же широком диапазоне чисел Рейнольдса. Здесь подразумевается, что эффективность применения теории возмущений в предлагаемой модели следа определяется, прежде всего, широко варьируемой интенсивностью Λ и l возмущающих членов уравнений, а не изменением сравнительно консервативных наследуемых параметров модели Л–С. Естественно, численные значения коэффициентов уравнений модели будут варьировать при изменении числа Рейнольдса течения, граничных условий на концах цилиндров и других параметров задачи, как это имеет место уже для следа одиночного цилиндра, например [10].

Здесь уместно отметить, что осцилляторная модель следа от двух цилиндров, при нелинейном представлении взаимодействия парциальных дорожек К, рассматривается нами где-то с 2013 г. При этом смоделировать экспериментальное распределение частот осцилляций по модам следа [7, Fig. 31, 32; 8, Fig. 14a] в широком диапазоне изменения интенсивности взаимодействия дорожек К удалось только в 2022 г., тогда как набор трех огрубленных мод I–III следа был получен сразу [6, 11, 12]. Предыдущие варианты модели удавалось согласовать с нашими измерениями базовых частот осцилляций только для одного фиксированного расстояния между осями цилиндров $L/D = 2.1 – 2.2$ [6].

Работа выполнена с использованием средств государственного бюджета по госзаданию № 123021700057-0.

Статья посвящена светлой памяти профессора Эдуарда Владимировича Теодоровича 18.07.1932–1.11.2022.

СПИСОК ЛИТЕРАТУРЫ

- Гувернюк С.В., Дынников Я.А., Дынникова Г.Я., Малахова Т.В. Вклад силы присоединенных масс в формирование пропульсивной силы машущего профиля в вязкой жидкости // Изв. РАН. МЖГ. 2022. № 5. С. 3–12.
- Ландау Л.Д., Лишинц Е.М. Гидродинамика. М.: Наука, 1986. 733 с.
- Sipp D., Lebedev A. Global stability of base and mean flows: a general approach and its applications to cylinder- and open cavity flows // J. Fluid Mech. 2007. V. 593. P. 333–358.
- Thompson M.C., Le Gal P. The Stusrt-Landau model applied to wake transition revisited // Europ. J. Mech. B/Fluids. 2004. V. 23. P. 219–228.
- Peschard I., Le Gal P. Coupled wakes of cylinders // Phys. Rev. Lett. 1996. V. 77. № 15. P. 3122–3125.
- Гембаржевский Г.В., Оsipенко К.Ю. Интерпретация и механизм перестройки течения ближнего следа под действием тлеющего разряда // Изв. РАН. МЖГ. 2022. № 1. С. 14–31.
- Sumner D. Two circular cylinders in cross-flow: A review // J. Fluids Struct. 2010. V. 26. P. 849–899.
- Alam Md.M., Moriya M., Sakamoto H. Aerodynamic characteristics of two side-by-side circular cylinders and application of wavelet analysis on the switching phenomenon // J. Fluids Struct. 2003. V. 18. P. 325–346.
- Sumner D., Reitenbach H.K. Wake interference effects for two finite cylinders: A brief review and some new measurements // J. Fluids Struct. 2019. V. 89. P. 25–39.
- Душина О.А., Калинин Е.И., Клюев М.А., Мазо А.Б., Молочников В.М. Влияние ограничения потока боковыми стенками на поперечное обтекание кругового цилиндра при умеренных числах Рейнольдса // Изв. РАН. МЖГ. 2023. № 1. С. 97–114.
- Гембаржевский Г.В., Леднев А.К., Осипенко К.Ю. Моделирование эволюции плазменного следа пары цилиндров под действием электрического разряда // Письма в ЖТФ. 2015. Т. 41. № 23. С. 40–48.
- Гембаржевский Г.В., Леднев А.К., Осипенко К.Ю. Развитие простой модели следа от пары цилиндров: двухчастотная мода течения // ТВТ. 2019. Т. 57. № 1. С. 121–126.